

УДК 519.68

ЧИСЛЕННОЕ ИССЛЕДОВАНИЕ СТРУЙНОГО ОХЛАЖДЕНИЯ ГОРИЗОНТАЛЬНОГО ЦИЛИНДРА

А. В. Афанасьев¹, В. В. Афанасьева¹

¹ *Московский государственный университет леса, Мытищи, Россия*
afanasev@mgul.ac.ru

Введение

Настоящая работа посвящена математическому моделированию обтекания горизонтального изотермического цилиндра плоской струей вязкой несжимаемой теплопроводной жидкости в режиме смешанной конвекции.

В электронике для охлаждения некоторых элементов устройств используются плоские и круглые струи воздуха, водяные и синтетические струи. Применяются как одиночные струи, так и массивы струй. Широкое применение в охлаждении микрочипов и «тепловых трубок», находящихся внутри персональных компьютеров, нашли именно ламинарные струи [1], так как они обеспечивают эффективное тепловое регулирование и позволяют экономить заряд батареи.

Задача о взаимодействии плоской струи с телами различной формы многопараметрическая, поэтому применение математического моделирования и вычислительного эксперимента как инструмента исследования данной задачи в настоящее время является актуальным.

При изучении обтекания кругового цилиндра струей жидкости можно воспользоваться данными основательно изученной задачи об обтекании цилиндра бесконечным потоком жидкости [2], так как эта задача является частным случаем струйного обтекания при условии, что ширина струи много больше диаметра цилиндра.

Данная работа является продолжением исследования смешанной конвекции при струйном обтекании цилиндра и посвящена рассмотрению двух подходов, применяемых для численной реализации процесса смешанной конвекции около горизонтального цилиндра.

Основные результаты исследований, полученные авторами с использованием конечно-разностного метода, представлены в работе [3]. Второй подход заключается в применении вихревого метода для моделирования взаимодействия струи с цилиндром. Данный метод позволяет определить структуру пространственного распределения гидродинамических характеристик и учесть влияние возмущений, возникающих в потоках. Нелинейные возмущения, которые возникают, например, из-за неустойчивости Кельвина-Гельмгольца и трансформируются в вихревые структуры, оказывают сильное воздействие на гидродинамику и теплоперенос. Особенно ярко это проявляется при использовании импактных струй, которые широко применяются в практических приложениях.

Математическая постановка задачи

Рассматривается двумерная задача ламинарного обтекания нагретого цилиндра плоской струей жидкости в поле действия силы тяжести \bar{g} (рис. 1а). На горизонтальный изотермический цилиндр, диаметром D , с температурой поверхности $T_{ст}$ из сопла шириной H натекает струя жидкости с постоянной температурой на срезе сопла $T_{ж}$ ($T_{ж} < T_{ст}$). Расстояние от среза сопла до цилиндра равно величине z . Профиль скорости на срезе сопла прямоугольный. Скорость истечения жидкости из сопла V – дозвуковая. Угол между вектором ускорения свободного падения и вектором скорости на срезе сопла – γ .

В основу модели положены нестационарные уравнения сохранения энергии (1) и Навье-Стокса в приближении Буссинеска с переходом к функции тока (Ψ) и функции интенсивности вихря (ω) – (2 – 4).

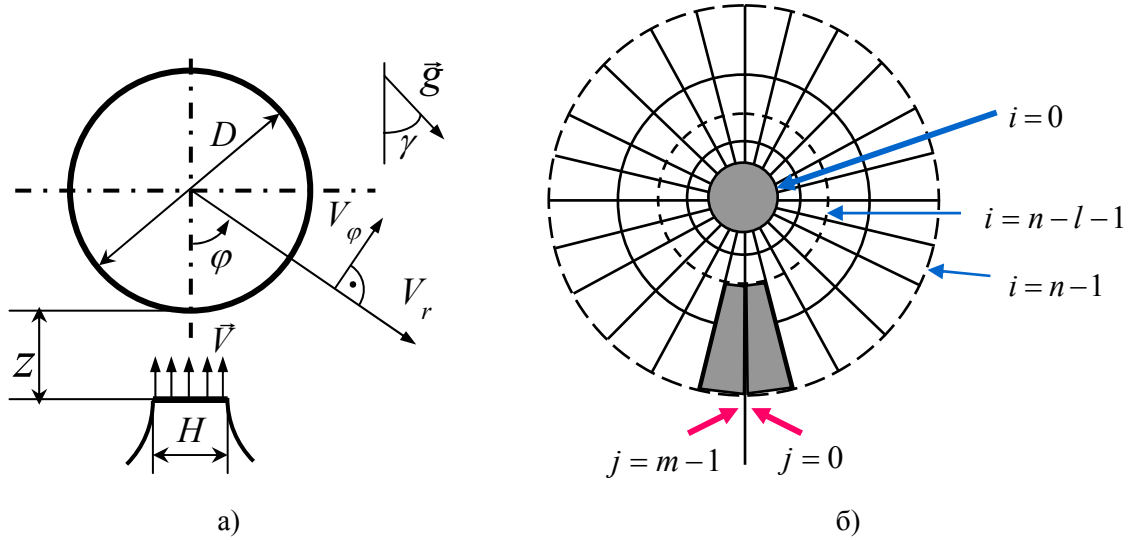


Рис. 1. Схема: а) объекта исследования;
б) расположения узлов сетки

Задача решалась в преобразованной полярной системе координат $(\bar{\xi}, \varphi)$, стягивающей бесконечную область в область конечных размеров. Преобразование радиальной координаты осуществлялось в соответствии с соотношением $\bar{\xi} = e^{-kr}$, где $k = \text{const}$ – параметр преобразования координат.

Безразмерные переменные (отмечены чертой сверху) введены следующим образом: $\bar{\tau} = \frac{V}{D} \tau$; $\bar{\Psi} = \frac{\Psi}{VD}$; $\bar{\omega} = \frac{D}{V} \omega$; $\bar{V}_r = \frac{V_r}{V}$; $\bar{V}_\varphi = \frac{V_\varphi}{V}$; $\bar{T} = \frac{T - T_{\text{ж}}}{\Delta T}$, где $\Delta T = T_{\text{ст}} - T_{\text{ж}}$.

Определяющие параметры задачи: число Рейнольдса $\text{Re} = VD/\nu$, число Грасгофа $\text{Gr} = g\beta\Delta T D^3/\nu^2$ (число Ричардсона $\text{Ri} = \text{Gr}/\text{Re}^2$), число Прандтля $\text{Pr} = \nu/a$, отношение ширины сопла к диаметру цилиндра – H/D и отношение расстояния от среза сопла до цилиндра к ширине сопла – z/H , угол между вектором ускорения свободного падения и вектором скорости на срезе сопла – γ .

Таким образом, уравнения примут вид:
уравнение переноса энергии

$$\frac{\partial \bar{T}}{\partial \bar{\tau}} - k \bar{\xi} \bar{V}_r \frac{\partial \bar{T}}{\partial \bar{\xi}} - \frac{k}{\ln \bar{\xi}} \bar{V}_\varphi \frac{\partial \bar{T}}{\partial \varphi} = \frac{1}{\text{Re Pr}} \frac{k^2}{\ln \bar{\xi}} \left[\bar{\xi} \frac{\partial}{\partial \bar{\xi}} \left(\bar{\xi} \ln \bar{\xi} \cdot \frac{\partial \bar{T}}{\partial \bar{\xi}} \right) + \frac{1}{\ln \bar{\xi}} \frac{\partial^2 \bar{T}}{\partial \varphi^2} \right], \quad (1)$$

уравнение переноса импульса

$$\frac{\partial \bar{\omega}}{\partial \bar{\tau}} - k \bar{\xi} \bar{V}_r \frac{\partial \bar{\omega}}{\partial \bar{\xi}} - k \frac{\bar{V}_\varphi}{\ln \bar{\xi}} \frac{\partial \bar{\omega}}{\partial \varphi} = \frac{1}{\text{Re}} \frac{k^2}{\ln \bar{\xi}} \left[\bar{\xi} \frac{\partial}{\partial \bar{\xi}} \left(\bar{\xi} \ln \bar{\xi} \cdot \frac{\partial \bar{\omega}}{\partial \bar{\xi}} \right) + \frac{1}{\ln \bar{\xi}} \frac{\partial^2 \bar{\omega}}{\partial \varphi^2} \right] - \frac{\text{Gr}}{\text{Re}^2} \frac{k}{\ln \bar{\xi}} \left[\frac{\partial}{\partial \varphi} (\bar{T} \cos(\varphi - \gamma)) + \bar{\xi} \cdot \frac{\partial}{\partial \bar{\xi}} (\ln \bar{\xi} \bar{T} \cdot \sin(\varphi - \gamma)) \right], \quad (2)$$

где

$$\bar{V}_r = -\frac{k}{\ln \bar{\xi}} \frac{\partial \bar{\Psi}}{\partial \varphi}, \quad \bar{V}_\varphi = k \bar{\xi} \frac{\partial \bar{\Psi}}{\partial \bar{\xi}} \quad (3)$$

– радиальная и тангенциальная составляющие скорости соответственно.
Уравнение, связывающее функцию интенсивности вихря с функцией тока:

$$\bar{\omega} = - \frac{k^2}{\ln \bar{\xi}} \left[\frac{\partial}{\partial \bar{\xi}} \left(\bar{\xi} \ln \bar{\xi} \cdot \frac{\partial \bar{\Psi}}{\partial \bar{\xi}} \right) + \frac{1}{\ln \bar{\xi}} \frac{\partial^2 \bar{\Psi}}{\partial \varphi^2} \right]. \quad (4)$$

Граничные условия:

На поверхности цилиндра $\bar{T} = \bar{T}_{ст} = 1$; $\bar{\Psi} = 0$; $\bar{V}_r = 0$; $\bar{V}_\varphi = 0$; на внешних стенках сопла $\bar{T} = \bar{T}_ж = 0$; $\bar{\Psi} = \text{const}$; $\bar{V}_r = 0$; $\bar{V}_\varphi = 0$ – условия прилипания.

На срезе сопла – безвихревое течение и равномерное распределение скорости, $\bar{T} = \bar{T}_ж = 0$; $\bar{\Psi} = -z/D \cdot \sin \varphi$ (в физическом эксперименте подобные условия можно получить с помощью сопла Витушинского), граничные условия для $\bar{\omega}$ получаются из уравнения (4).

На внешней границе – условия полной проницаемости $\frac{\partial \bar{T}}{\partial \bar{\xi}} = 0$; $\frac{\partial \bar{\omega}}{\partial \bar{\xi}} = 0$; $\frac{\partial \bar{V}_r}{\partial \bar{\xi}} = 0$;

$\frac{\partial \bar{V}_\varphi}{\partial \bar{\xi}} = 0$. Эти условия численно были реализованы так, чтобы исключить влияние

конечно – разностной аппроксимации граничных условий на течение вблизи цилиндра.

Начальные условия: на поверхности цилиндра $\bar{T} = \bar{T}_{ст} = 1$; во всей расчетной области $\bar{T} = \bar{T}_ж = 0$; на срезе сопла задано равномерное распределение скорости, во всей остальной расчетной области задано течение, соответствующее безотрывному обтеканию цилиндра струей идеальной жидкости конечной ширины.

Методы численного решения

I метод

Заключается в том, что дифференциальные уравнения (1–4) заменяются их конечно – разностными аналогами. Численное решение задачи ищется в узлах сетки. Аппроксимация конечными разностями дифференциальных уравнений (1; 2) проводилась по модифицированной явной схеме, ориентированной «против потока», с компенсацией погрешности первого порядка. Для аппроксимации составляющих скорости (3) использовались центральные конечные разности второго порядка. Уравнение (4) решалось методом установления по неявной схеме с использованием продольно – поперечных прогонок. По тангенциальной координате использовалась циклическая прогонка. Подробно данный метод решения описан в работе [3].

II метод

Метод «вихрей в ячейке» [4] совмещает некоторые из лучших черт лагранжева и эйлера подходов. Лагранжевы частицы (дискретные точечные вихри), представляющие элементы жидкости, движутся в фиксированной эйлеровой сетке, которая в свою очередь используется для описания переменных поля.

В этом методе интегрируется уравнение траектории движения каждого дискретного вихря, то есть скорости вычисляются по значениям функции тока, которая в отличие от метода дискретных вихрей определяется не путем суммирования (наложения, суперпозиции) вкладов от отдельных дискретных вихрей, а из решения уравнения для функции тока с использованием сеточной функции завихренности, определенной путем осреднения вкладов дискретных вихрей по ячейкам сетки.

Точечные дискретные вихри генерируются на поверхности цилиндра и кромках сопла. Каждый дискретный вихрь характеризуется координатами местоположения и циркуляцией.

Уравнение (2) представим в виде трех частей.

1) Конвективная часть

$$\frac{\partial \bar{\omega}}{\partial \tau} - k \bar{\xi} \bar{V}_r \frac{\partial \bar{\omega}}{\partial \bar{\xi}} - k \frac{\bar{V}_\varphi}{\ln \bar{\xi}} \frac{\partial \bar{\omega}}{\partial \varphi} \quad \text{или} \quad \frac{D \bar{\omega}}{D \tau}, \quad (5)$$

аппроксимировалась вихревыми элементами, положения и циркуляция которых определялись согласно уравнениям:

$$\frac{d\mathbf{x}_p}{d\tau} = \mathbf{u}_p(\mathbf{x}_p); \quad (6)$$

$$\frac{d\Gamma}{d\tau} = 0. \quad (7)$$

2) Диффузионная часть

$$\frac{1}{\text{Re}} \frac{k^2}{\ln \bar{\xi}} \left[\bar{\xi} \frac{\partial}{\partial \bar{\xi}} \left(\bar{\xi} \ln \bar{\xi} \cdot \frac{\partial \bar{\omega}}{\partial \bar{\xi}} \right) + \frac{1}{\ln \bar{\xi}} \frac{\partial^2 \bar{\omega}}{\partial \varphi^2} \right], \quad (8)$$

которая моделировалась с применением «диффузионной» скорости [5]

$$\bar{V}_\varphi^{dif} = \frac{1}{\text{Re}} \frac{k}{\ln \bar{\xi}} \cdot \frac{1}{\bar{\omega}} \frac{\partial \bar{\omega}}{\partial \varphi}; \quad \bar{V}_r^{dif} = \frac{1}{\text{Re}} k \bar{\xi} \cdot \frac{1}{\bar{\omega}} \frac{\partial \bar{\omega}}{\partial \bar{\xi}}. \quad (9)$$

3) Часть, учитывающая влияние сил плавучести,

$$-\frac{\text{Gr}}{\text{Re}^2} \frac{k}{\ln \bar{\xi}} \left[\frac{\partial}{\partial \varphi} (\bar{T} \cos(\varphi - \gamma)) + \bar{\xi} \frac{\partial}{\partial \bar{\xi}} (\ln \bar{\xi} \cdot \bar{T} \sin(\varphi - \gamma)) \right]; \quad (10)$$

заменялась генерацией «тепловых» вихрей в узлах сетки.

Для перехода от системы дифференциальных уравнений и краевых условий к соответствующим конечно – разностным соотношениям рассматриваемая область изменения безразмерных координат $(\bar{\xi}, \varphi)$ была заменена равномерной сеткой узловых точек (рис. 1б) с номерами i, j , которые изменялись в диапазонах: $0 \leq i \leq n-1$, $0 \leq j \leq m-1$. Сетка задавалась как $n(l) \times m$, где n и m - количество всех узлов в радиальном и тангенциальном направлениях соответственно, а l - количество узлов, приходящихся на сопло в радиальном направлении. Для того, чтобы на расстояние от сопла до цилиндра (z) приходилось целое количество шагов сетки, параметр преобразования координат k выбирался следующим образом: $k = -D/z \cdot \ln(l/n)$.

Безразмерный шаг между узловыми точками в радиальном направлении $\Delta \bar{\xi} = \bar{\xi}_0/n$, где $\bar{\xi}_0 = e^{-k/2}$, а в тангенциальном направлении $\Delta \varphi = 2\pi/(m-1)$ (с учётом того, что значения функций при $\varphi = 0$ и $\varphi = 2\pi$ хранились в разных ячейках памяти).

Величина шага по времени $\Delta \tau$ зависела от номера временного слоя и определялась из условий практической устойчивости. Аппроксимация конечными разностями дифференциального уравнения (1) проводилась по модифицированной явной схеме, ориентированной «против потока», с компенсацией погрешности первого порядка.

Для модельного уравнения переноса энергии (одномерного):

$$\frac{\partial T}{\partial \tau} = -U \frac{\partial T}{\partial x} + a \frac{\partial^2 T}{\partial x^2} \quad (11)$$

конечно – разностный шаблон выбранной схемы выглядит так:

$$\frac{T_i^* - T_i}{\Delta \tau} = (|U_i| - U_i) \frac{T_{i+1} - T_i}{2\Delta x} - (|U_i| + U_i) \frac{T_i - T_{i-1}}{2\Delta x} + a \frac{T_{i+1} - 2T_i + T_{i-1}}{2\Delta x^2} \left[\left| 1 - |U_i| \frac{\Delta x}{2a} \right| + \left(1 - |U_i| \frac{\Delta x}{2a} \right) \right], \quad (12)$$

где i – номер узла, T_i^* – значение температуры в узле сетки с номером i на новом временном шаге, x – координата, U – скорость.

Интенсивность вихря в узловых точках (рис. 2) изменялась согласно

$$\omega_q = \sum_p \frac{S_q \Gamma_p}{S^2}, \quad q = 1, 2, 3, 4. \quad (13)$$

Циркуляция каждого дискретного вихря определялась по формуле:

$$\Gamma_p = (\omega_{\Gamma p} - \omega_{\Sigma w})S, \quad (14)$$

где $\omega_{\Gamma p}$ - завихренность на границе определялась из уравнения (4),

S - площадь ячейки, внутри которой находится рассматриваемый вихрь,

$\omega_{\Sigma w}$ - завихренность, генерируемая отсоединенными вихрями, которые находятся в той же ячейке, определяется согласно уравнению (13).

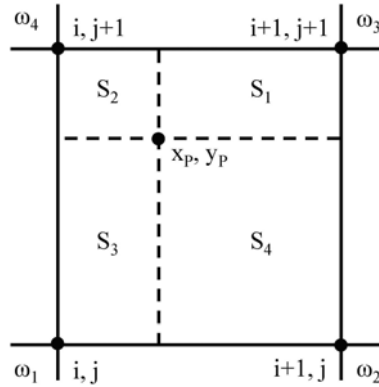


Рис. 2. Схема весов для распределения завихренности

После учета вкладов всех дискретных вихрей (13) завихренность оказывалась определенной во всех узлах сетки, и функция тока могла быть найдена из уравнения (4), которое решалось методом установления по неявной схеме с использованием продольно – поперечных прогонок.

Затем определялось поле скоростей и для каждого дискретного вихря определялась его скорость согласно выражению:

$$\mathbf{u}_p = \sum_{q=1}^4 \frac{\mathbf{U}_q S_q}{S}, \quad (15)$$

также определялись «диффузионные» скорости:

$$\mathbf{u}_p^{dif} = \sum_{q=1}^4 \frac{\mathbf{U}_q^{dif} S_q}{S}, \quad (16)$$

где \mathbf{U}_q и \mathbf{U}_q^{dif} – вектора скоростей, которые определяются из уравнений (3) и (9) соответственно, эти уравнения аппроксимировались центральными конечными разностями второго порядка.

Затем интегрированием по времени уравнения траекторий вихрей (6) определялись их новые положения:

$$\mathbf{x}_p(\tau + \Delta\tau) = \mathbf{x}_p(\tau) + \mathbf{u}_p(\tau)\Delta\tau + \mathbf{u}_p^{dif}(\tau)\Delta\tau. \quad (17)$$

Далее для учета влияния сил плавучести авторы предложили в тепловом пограничном слое (область, где $\bar{T} > 0,05$) генерировать «тепловые» вихри, причем координаты «тепловых» вихрей соответствуют координатам узлов сетки, а циркуляция определялась по формуле:

$$\Gamma = \left(-\frac{\text{Gr}}{\text{Re}^2} \frac{k}{\ln \bar{\xi}} \left[\frac{\partial}{\partial \varphi} (\bar{T} \cos(\varphi - \gamma)) + \bar{\xi} \frac{\partial}{\partial \bar{\xi}} (\ln \bar{\xi} \cdot \bar{T} \sin(\varphi - \gamma)) \right] \right) S. \quad (18)$$

На основе рассмотренных методов расчета разработано программное обеспечение под Windows для проведения вычислительных экспериментов для исследования взаимодействия плоской струи вязкой несжимаемой жидкости с горизонтальным круговым цилиндром. Текст программы написан на языке программирования C++. Время расчета одного варианта задачи на персональном компьютере в среднем составляло около нескольких часов.

Тестирование методов

Тестирование программы проводилось в два этапа. Первый этап состоял в сопоставлении результатов расчетов с известными данными для обтекания цилиндра неограниченным потоком. Моделировалось обтекание цилиндра бесконечным потоком с применением второго метода (рис. 3а) и ограниченным потоком с применением первого метода при $H/D = 10$, $z/H = 1$ (рис. 3б) бесконечным потоком при $Re = 13,1$. Результаты моделирования качественно согласуются с физическим экспериментом [2] (для наглядности картина течения по данным физического эксперимента наложена на рис. 3а, 3б с правой стороны).

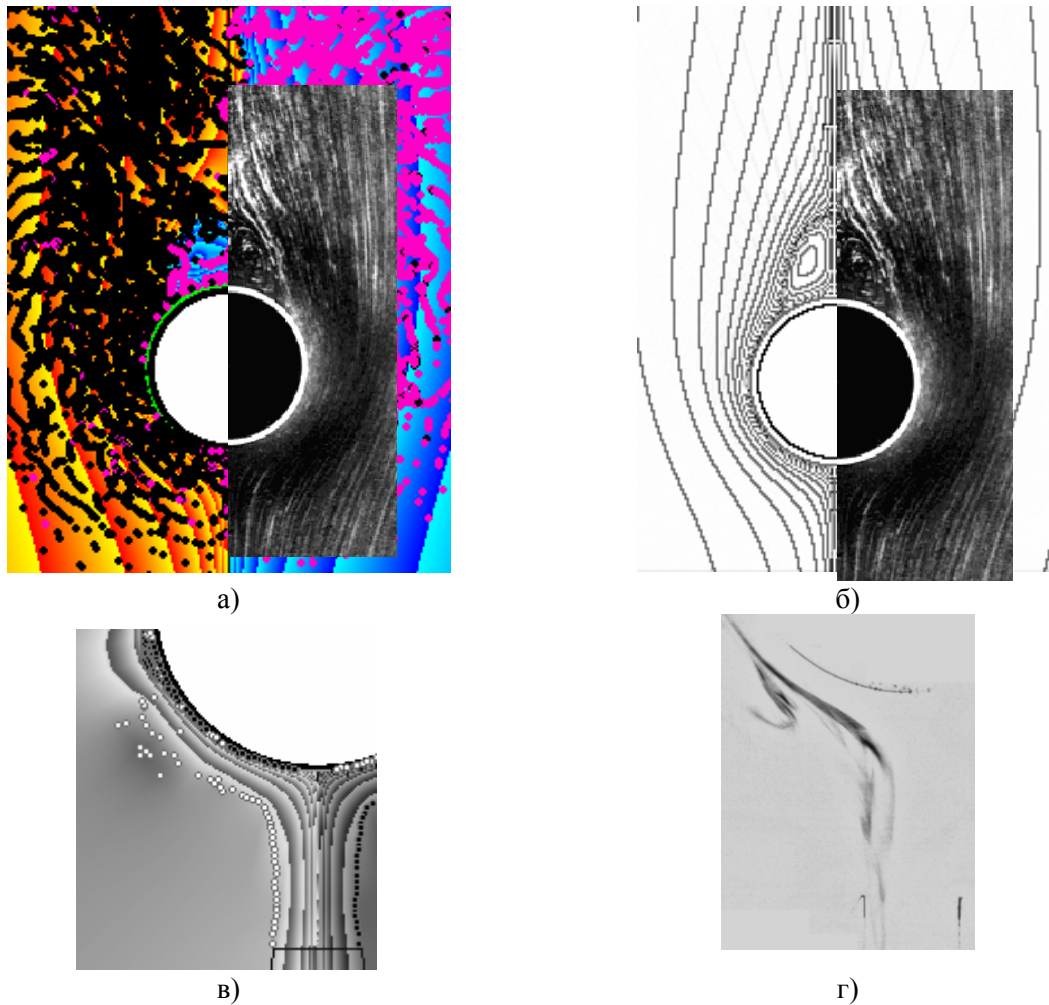


Рис 3. Картины течения:

- а) для обтекания цилиндра бесконечным потоком (расчет по методу II);
- б) для обтекания цилиндра бесконечным потоком (расчет по методу I);
- в) для обтекания цилиндра струей (расчет по методу II);
- г) для обтекания цилиндра струей (физический эксперимент)

По методу I были проведены расчеты обтекания изотермически нагретого цилиндра неограниченным потоком в режиме совпадающей смешанной конвекции. Полученные поля распределения температуры и тангенциальной скорости, а также распределения локального теплообмена совпадают с данными известных работ по изучению теплообмена и гидродинамики вблизи горизонтального цилиндра [6].

Второй этап заключался в сравнении результатов расчетов с данными лабораторных экспериментов для случая обтекания цилиндра плоской струей [7].

На рис. 3в представлены результаты моделирования взаимодействия струи с цилиндром с помощью метода «вихрей в ячейке». Надо отметить, что вихревые структуры, полученные в

вычислительном эксперименте, качественно согласуются с данными физического эксперимента, рис. 3г соответствует негативу фотоснимка, визуализация картины течения получена авторами с помощью лазерного ножа и дыма.

Тестовые расчеты совпадающей смешанной конвекции при обтекании цилиндра неограниченным потоком и плоской струей, а так же расчеты естественной конвекции около горизонтального цилиндра показали, что имели место внутренняя сходимость при измельчении сетки и удовлетворительное согласование результатов расчетов с известными экспериментальными данными (рис. 4).

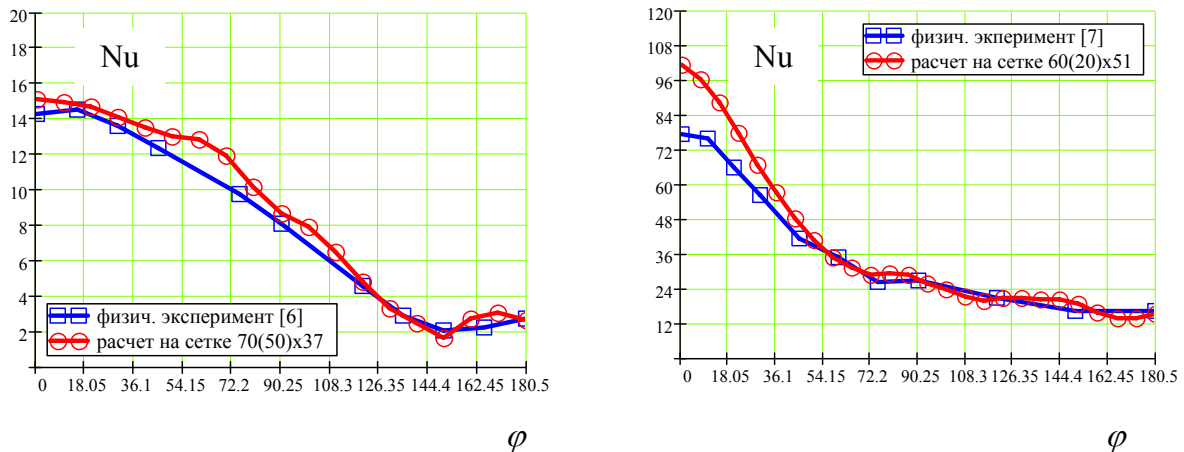


Рис 4. Распределения локального числа Нуссельта (расчет по методу II):

а) обтекание цилиндра потоком при $Re = 188$; $Gr = 47700$; $Pr = 0,7$; $\gamma = 0$;

б) обтекание цилиндра струей при $Re = 4072$; $Gr = 2,5 \cdot 10^6$; $Pr = 0,7$; $H/D = 0,262$;

$z/H = 2$; $\gamma = 0$

Таким образом, можно утверждать, что оба рассмотренных метода дают вполне надежные результаты, согласующиеся с известными данными физических экспериментов, и разработанная программа для проведения вычислительных экспериментов пригодна для исследования взаимодействия струи с нагретым цилиндром.

Результаты

Вычислительные эксперименты проводились для следующих диапазонов изменения определяющих параметров задачи: $Re = 0 \div 4000$; $Gr = 2,5 \cdot 10^4 \div 2,5 \cdot 10^6$ ($Ri = 1,56 \cdot 10^{-3} \div 250$); $Pr = 0,5 \div 2$; $H/D = 0,131 \div 0,394$; $z/H = 1 \div 3$; $\gamma = 0$.

Ниже приведены результаты исследования процесса ламинарной совпадающей смешанной конвекции при струйном обтекании цилиндра. Вычислительные эксперименты проводились с использованием метода конечных разностей (метод I).

По результатам вычислительных экспериментов было установлено, что при взаимодействии струи с цилиндром режимы обтекания могут быть следующими:

1) Безотрывное обтекание, которое имеет место в случае преобладания естественной конвекции; 2) Образование двух симметричных устойчивых во времени вихрей в кормовой зоне цилиндра; 3) Периодический отрыв вихрей с кормовой зоны цилиндра (образование дорожки Кармана), который имеет место в случае преобладания вынужденной конвекции.

На рис. 5 представлены характерные картины течения в зависимости от чисел Рейнольдса и Грасгофа для фиксированного момента времени и геометрических параметров задачи (H/D и z/H).

После анализа картин течения вблизи цилиндра было установлено, что при увеличении параметра z/H можно добиться уменьшения размера вихрей в кормовой зоне цилиндра, а при уменьшении параметра H/D можно добиться безотрывного обтекания.

Выявлены закономерности положения угла отрыва от чисел Re и Gr . Под углом отрыва для нестационарного схода вихрей с кормовой зоны цилиндра подразумевается максимальный угол, при котором происходит отрыв.

Были проведены исследования локального (рис. 7) и среднего теплообмена (рис. 6); получены распределения локального числа Нуссельта на поверхности цилиндра, которое вычислялось по формуле $Nu = k \frac{\partial \bar{T}}{\partial \bar{\xi}} \Big|_{\bar{\xi}=\bar{\xi}_0}$ с использованием трехточечной схемы второго

порядка. Было установлено, что локальный и средний теплообмен зависят от всех определяющих параметров, влияния каждого из параметров на характеристики теплообмена отражены в зависимостях (19) и (20).

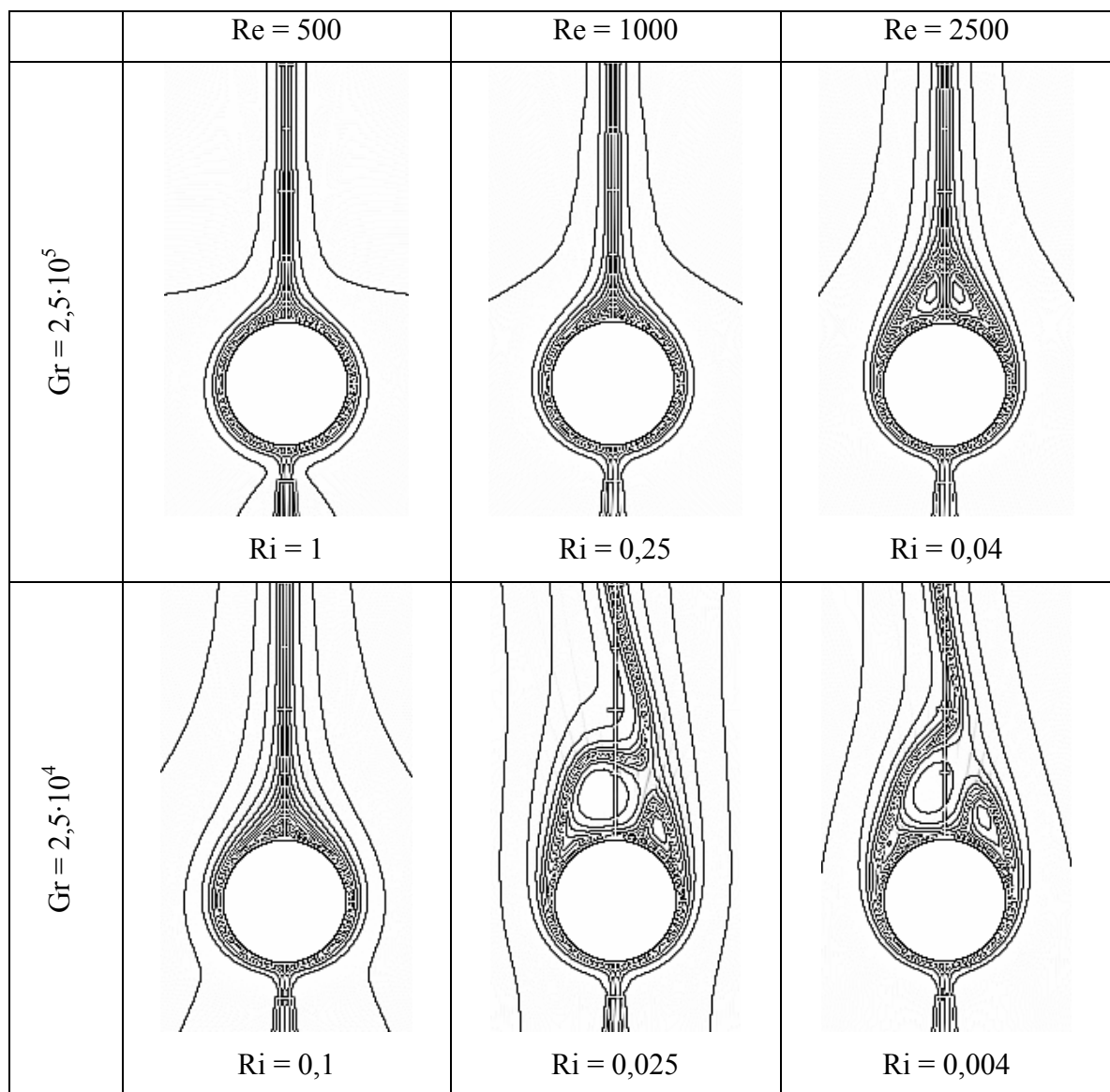


Рис. 5. Влияние чисел Re и Gr на распределение функции тока при струйном обтекании нагретого цилиндра для $Pr = 0,7$; $H/D = 0,131$; $z/H = 2$; $\gamma = 0$

Далее приведены результаты обобщения характеристик среднего теплообмена и теплообмена в лобовой точке при струйном обтекании цилиндра в режиме ламинарной совпадающей смешанной конвекции.

Методом наименьших квадратов получена следующая формула для среднего числа Нуссельта (\overline{Nu}):

$$\overline{Nu}(Re; Gr; Pr; H/D; z/H) = \overline{Nu}_e(Gr; Pr) + Pr^{0,07(\log(Gr)+1)}(0,376\sqrt{z/H} + 0,43)^{-1} \times (f_1(Gr)\ln(Re+1) + f_2(Gr)\sqrt{Re} + f_3(Gr)Re + f_4(H/D)\sqrt{Re} + f_5(H/D)Re), \quad (19)$$

где: $\overline{Nu}_e(Gr; Pr) = 0,505(GrPr)^{0,25} \left(1 + \frac{1,25}{(GrPr)^{0,25}} \right) \left(\frac{Pr}{1 + 0,875 Pr} \right)^{0,25}$ – средний теплообмен при естественной конвекции [8],

$$f_1(Gr) = 0,244(\log(Gr))^2 - 2,441 \log(Gr) + 5,37;$$

$$f_2(Gr) = -5,146 \cdot 10^{-6} Gr^{0,744} + 0,39;$$

$$f_3(Gr) = 1,21 \cdot 10^{-9} Gr - 7,3 \cdot 10^{-4};$$

$$f_4(H/D) = -0,218(H/D)^2 + 0,21(H/D) - 0,041;$$

$$f_5(H/D) = 10^{-3}(31,224(H/D)^2 - 19,252(H/D) + 2,902).$$

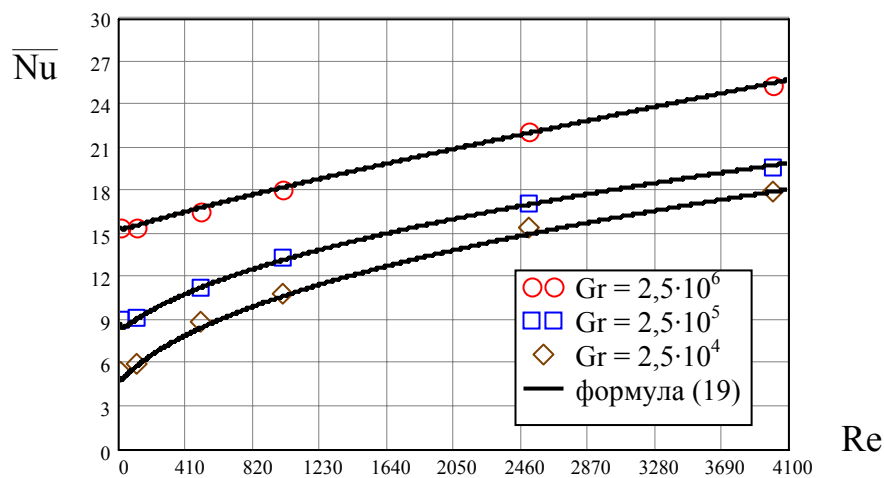


Рис. 6. Распределения среднего числа Нуссельта в зависимости от Re при $Pr = 0,7$; $H/D = 0,262$; $z/H = 3$; $\gamma = 0$

Формула справедлива для следующих диапазонов изменения параметров задачи: $Re = 0 \div 4000$; $Gr = 2,5 \cdot 10^4 \div 2,5 \cdot 10^6$ ($Ri = 1,56 \cdot 10^{-3} \div 250$); $Pr = 0,5 \div 2$; $H/D = 0,131 \div 0,394$; $z/H = 1 \div 3$; $\gamma = 0$. Результаты вычислительных экспериментов и данные, полученные по формуле (19), отражены на рис. 6. Максимальное расхождение данных вычислительных экспериментов с данными, полученными по формуле (19), составляет 9%.

Теплообмен в лобовой точке имеет важное практическое значение. Результаты вычислительных экспериментов по определению числа Nu в лобовой точке ($Nu_{\varphi=0}$) представлены на рис. 7.

Из анализа полученных данных следует, что при изменении Re от 500 до 4000 значения $Nu_{\varphi=0}$ не зависят от числа Грасгофа, и изменяются практически линейно от Re . На величину $Nu_{\varphi=0}$ влияет отношение $z/D = (z/H) \cdot (H/D)$. Предложена следующая зависимость:

$$Nu_{\varphi=0}(Re; z/D) = 0,017 Re(z/D)^{-0,36} - 5(z/D) + 21. \quad (20)$$

Формула (20) справедлива для $Re = 500 \div 4000$; $Gr = 2,5 \cdot 10^4 \div 2,5 \cdot 10^6$ ($Ri = 1,56 \cdot 10^{-3} \div 10$); $Pr = 0,7$; $H/D = 0,131 \div 0,394$; $z/H = 1 \div 3$, максимальное расхождение данных вычислительных экспериментов с данными, полученными по формуле (20), составляет 10%.

Формулы (19), (20) справедливы при условии $T_{ср} = const$. Физические параметры в числах подобия берутся по средней температуре.

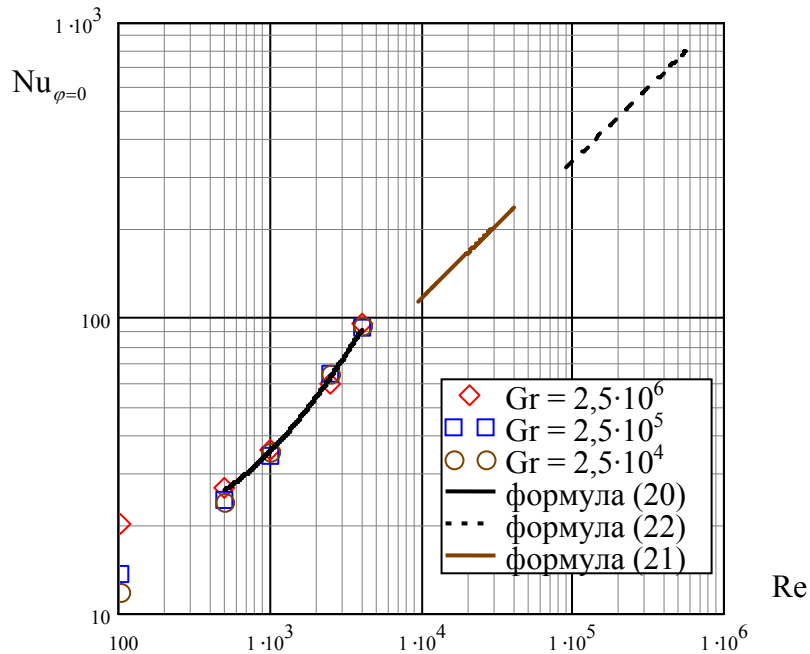


Рис. 7. Значения числа Нуссельта в лобовой точке для $z/H=2$; $H/D=0,394$; $Pr=0,7$

Имеются эмпирические зависимости по определению $Nu_{\varphi=0}$ для других диапазонов изменения определяющих параметров. В работах [9] и [10] предложены соответственно формулы (21) и (22):

$$Nu_{\varphi=0}(Re; Pr; H/D) = 1,285 Re^{0,5} Pr^{0,4} \left(\frac{180}{\pi} \frac{0,682(H/D) + 1,0}{(H/D)^{0,76} (150,3 - 26,7(H/D)^{0,5})} \right)^{0,5}. \quad (21)$$

Формула (21) справедлива для $Re = 9,5 \cdot 10^3 \div 4 \cdot 10^4$; $H/D = 0,037 \div 0,5$; $h/H = 1 \div 4$; $Pr = 0,7$.

$$Nu_{\varphi=0}(Re; H/D) = 1,03 Re^{0,5} (1,0 - (2H/D)^{-2} + (2H/D)^{-3})^{0,125}. \quad (22)$$

Формула (22) справедлива для $Re = 9,0 \cdot 10^4 \div 5,75 \cdot 10^5$; $H/D = 0,037 \div 2,0$; $h/H = 1 \div 3$; $Pr = 0,7$.

Из рис. 7 следует, что полученная зависимость для вычисления локального числа Нуссельта в лобовой точке (20) в целом согласуется с характером поведения кривых, полученных другими авторами для других диапазонов изменения определяющих параметров, это служит дополнительным подтверждением того, что эта формула применима для инженерных расчетов.

Расчеты, проведенные при использовании метода «вихрей в ячейках», показали, что когерентные вихревые структуры влияют на распределение температуры вблизи поверхности цилиндра (рис. 8). Распределение локального числа Нуссельта на поверхности цилиндра имеет нестационарный характер (имеют место перемещающиеся локальные максимумы) и зависит от положения вихревых структур струи, которые в свою очередь порождают вниз по течению вихревые структуры на поверхности цилиндра.

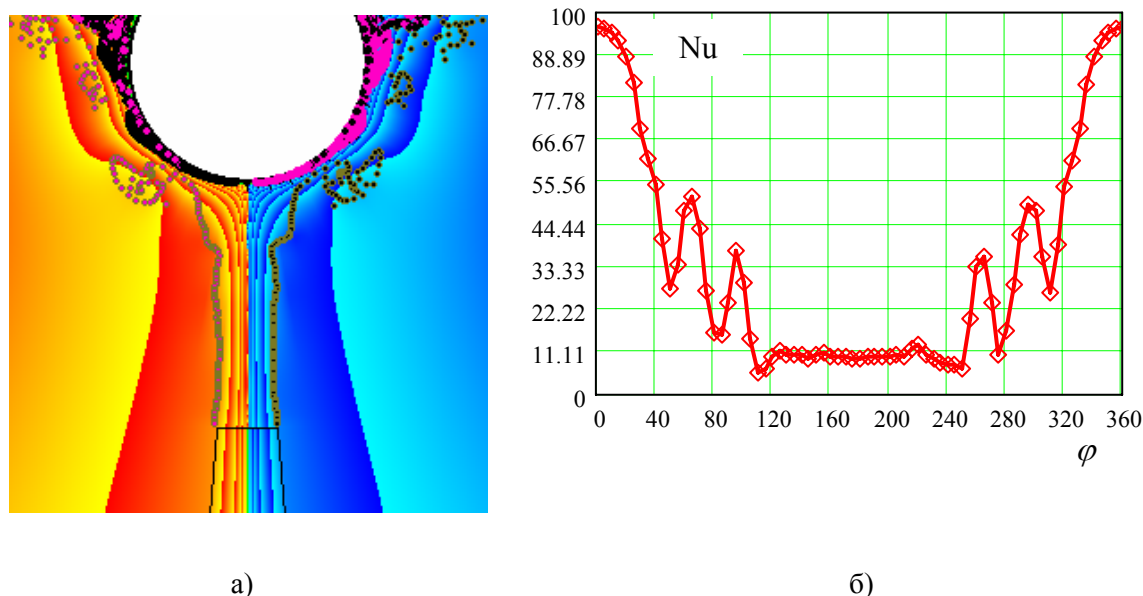


Рис. 8. Результаты вычислительных экспериментов с использованием метода «вихрей в ячейках»: а) картина течения; б) распределение мгновенного локального числа Нуссельта

Выводы

В работе описаны математическая модель и рассмотрены два метода численного решения задачи о взаимодействии плоской струи вязкой несжимаемой теплопроводной жидкости с горизонтальным круговым цилиндром.

Показано, что подход, применяемый на основе конечно-разностного метода, и подход, базирующийся на методе «вихрей в ячейках», позволяют корректно моделировать движение вязкой теплопроводной жидкости вблизи поверхности цилиндра для случая обтекания цилиндра бесконечным потоком и плоской струей.

Данные тестовых расчетов, полученных для обоих методов численного решения, хорошо согласуются с известными экспериментальными данными.

Показано, что подход, применяемый на основе конечно-разностного метода, и реализованный алгоритм позволили получить необходимые данные по положению угла отрыва, режимам обтекания цилиндра и характеристикам теплообмена для ранее не исследованных областей изменения определяющих параметров изучаемого процесса.

Показана возможность обобщения результатов вычислительных экспериментов. Получены обобщающие зависимости для характеристик среднего теплообмена и теплообмена в лобовой точке.

Показано, что подход, базирующийся на методе «вихрей в ячейках», позволяет отслеживать поведение вихревых структур, имеющих место в физическом эксперименте. Нестационарное

развитие вихревых структур приводит к тому, что характеристики теплообмена зависят от времени, причем колебания температуры начинаются в тот момент, когда вихревые структуры от сопла достигают преграды. Данный метод позволяет исследовать вихревые структуры в слое смешения и их влияния на характеристики теплообмена.

Список обозначений

g - ускорение свободного падения;	\bar{V}_φ^{dif} - тангенциальная компонента
D - диаметр цилиндра;	«диффузионной» скорости;
$T_{ст}$ - температура поверхности цилиндра;	\bar{V}_r^{dif} - радиальная компонента
H - ширина сопла;	«диффузионной» скорости;
$T_ж$ - температура на срезе сопла;	x_p - координата p вихря;
z - расстояние от среза сопла до цилиндра;	$u_p(x_p)$ - скорость вихря в x_p точке;
V - скорость истечения жидкости из сопла;	Γ - циркуляция вихря;
γ - угол между вектором ускорения	i, j - номера сетки;
свободного падения и вектором скорости на	$n(l) \times m$ - параметры сетки;
срезе сопла;	S - площадь ячейки;
Ψ - функция тока;	Gr – число Грасгофа, $Gr = g\beta\Delta TD^3/\nu^2$;
ω - функция интенсивности вихря;	Nu – число Нуссельта, $Nu = \alpha D/\lambda$;
ξ - модифицированная радиальная	Pr – число Прандтля, $Pr = \nu/a$;
координата;	Re – число Рейнольдса, $Re = (VD)/\nu$;
r - радиальная координата;	Ri – число Ричардсона, $Ri = Gr/Re^2$.
φ - тангенциальная координата;	

Список литературы

- [1] Guarino J.R., Manno V.P., Characterization of laminar jet impingement cooling in portable computer applications. // Semiconductor Thermal Measurement and Management Symposium. San Jose (California, USA), 2001 (<http://www.rostenaward.org/manno1.pdf>).
- [2] Ван-Дайк М. Альбом течений жидкости и газа / М. Ван-Дайк – М.: Мир, 1986. – 184 с.
- [3] Афанасьев А.В., Афанасьева В.В., Хроменко А.В. Численное исследование совпадающей смешанной конвекции при обтекании горизонтального цилиндра плоской струей вязкой несжимаемой жидкости. Вычислительные методы и программирование. – 2007. – М: Изд-во МГУ –Т.8. №1. – С 65 – 73. – ISSN 0507-5386.
- [4] Пейре Р., Тейлор Т.Д. Вычислительные методы в задачах механики жидкости. – Ленинград : Гидрометеиздат, 1986. 352 с.
- [5] Дынникова Г.Я. Лагранжев подход к решению нестационарных уравнений Навье-Стокса // Доклады РАН. – 2004, Т. 399, № 1. – С. 42-46.
- [6] Хроменко А.В. Гидродинамика и теплообмен горизонтального цилиндра при ламинарной смешанной конвекции : дис. ... канд. техн. наук : 05.14.05 / Андрей Владимирович Хроменко. – М., 1990. – 252 с.
- [7] Беляков В.А., Хроменко А.В., Парыгин К.Э., Климов В.О. Гидродинамика и теплообмен горизонтального цилиндра в плоской турбулентной струе в режиме смешанной конвекции. Технология и оборудование для переработки древесины: сб. науч. тр. – Вып. 319. – М.: МГУЛ, 2003. – С. 155 – 159.
- [8] Брдлик П.М. Внешние задачи теплообмена при гравитационной конвекции / П.М. Брдлик – М. : МЛТИ, 1988. – 71с.
- [9] Парыгин К.Э. Теплообмен и гидродинамика при вынужденном обтекании тела цилиндрической формы плоской турбулентной струей : дис. ... канд. техн. наук : 01.04.14. / Парыгин Константин Эдуардович – М., 2003. – 250с.
- [10] Жанабаев З.Ж. Аэродинамика и теплообмен цилиндра и шара при струйном обтекании: дис. канд. физ.-мат. наук: / З.Ж. Жанабаев. – Алма-Ата, 1968. – 154 с.